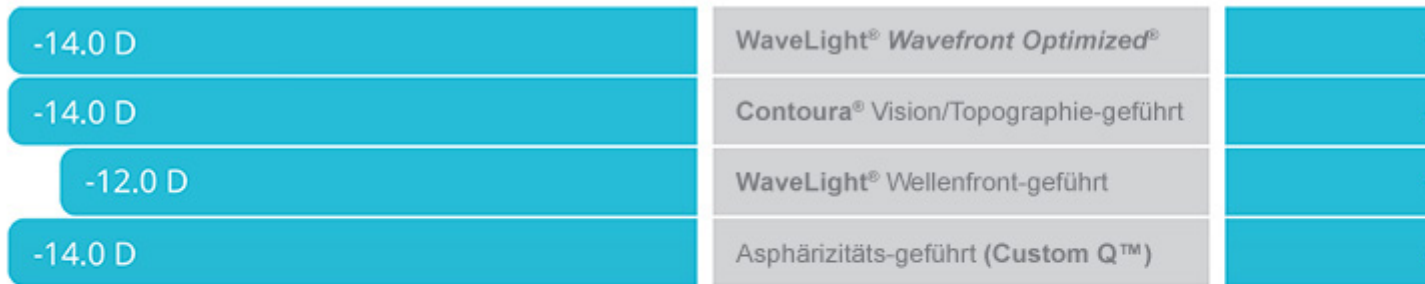


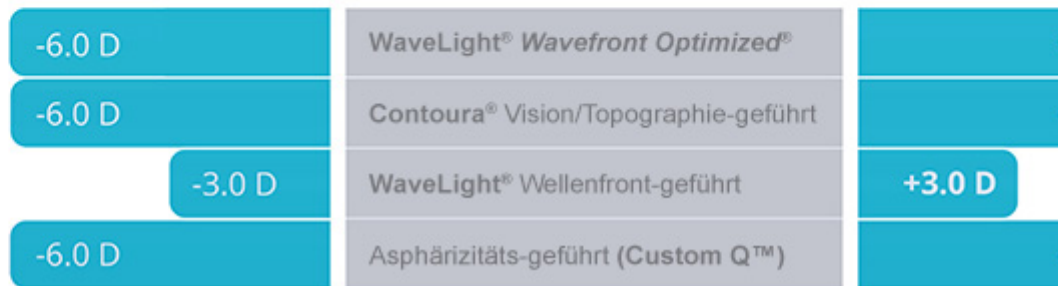
Breite Palette von Behandlungsoptionen ^[1]

Behandlungen - Sphäre

■ Verfügbarer Behandlungsbereich (n)



Behandlungen - Zylinder



Footnotes:

Referenzen

* Verglichen mit konventioneller PRK.

+ Die hier präsentierten Ergebnisse stammen aus einer prospektiven, nicht randomisierten Studie von 230 Augen mit Myopie mit oder ohne Astigmatismus, die mittels topographie-geführter LASIK mit dem ALLEGRETTO WAVE® Eye-Q Excimer-Laser-System behandelt wurden. Die Augen wiesen eine Kurzsichtigkeit von bis zu -9 D und einen Astigmatismus von bis zu 6 D auf.

^ Pentacam ist eine Handelsmarke der Firma OCULUS Optikgeräte GmbH.

1. Data on File / WaveLight® EX500 Excimer-Laser, Gebrauchsanweisung.
2. Mrochen M., Donitzky C., Wüllner C., Löffler J.,: Wavefront Optimized® ablation profiles: theoretical background. J Cataract Surg. 2004;30:775-785.
3. Kanellopoulos AJ, Binder PS. Management of corneal ectasia after LASIK with combined, same-day, topography-guided partial transepithelial PRK and collagen cross-linking: the Athens Protocol. J Refract Surg. 2011;27(5):323-331.
4. Coskunseven E, Jankov MR, Grentzelos MA, et al. Topography-guided transepithelial PRK after intracorneal ring segments implantation and corneal collagen CXL in a three-

- step procedure for keratoconus. J Refract Surg. 2013;29(1):54-58.
5. Anera RG, et al. Changes in corneal asphericity after laser refractive surgery, including reflection losses and nonnormal incidence upon the anterior cornea. Opt Lett. 2003;28:417-419.
 6. Cummings A. Innovations in excimer laser refractive technology – focus on the WaveLight® EX500 Excimer Laser System. Eur Ophthalmic Rev. 2010;4:44-46.
 7. Data on File / WaveLight® FS200 Femtosekunden-Laser, Gebrauchsanweisung.
 8. Stulting RD, Fant BS. Results of topography-guided laser in-situ keratomileusis custom ablation treatment with a refractive excimer laser. J Cataract Refract Surg. 2016;42;11-18.
 9. PERS - Declaration of Conformity for WaveLight EX500 (Nov 2017)
 10. Procedure Manual EX500 (1016) rev04 2017-02-27
 11. Analysis of ethanol effects on corneal epithelium PubMed: <https://www.ncbi.nlm.nih.gov/pubmed/23674759> [2]
 12. Epi-LASIK: comparative histological evaluation of mechanical and alcohol-assisted epithelial separation PubMed: <https://www.ncbi.nlm.nih.gov/pubmed/?term=Epi-LASIK%3A+comparative+histo...> [3]
 13. Single-Step Transepithelial PRK vs Alcohol-Assisted PRK in Myopia and Compound Myopic Astigmatism Correction PubMed: [https://www.ncbi.nlm.nih.gov/pubmed/?term=3\[4\]\)%09Single-Step+Transepithelial+PRK+vs+Alcohol-Assisted+PRK+in+Myopia+and+Compound+Myopic+Astigmatism+Correction](https://www.ncbi.nlm.nih.gov/pubmed/?term=3[4])%09Single-Step+Transepithelial+PRK+vs+Alcohol-Assisted+PRK+in+Myopia+and+Compound+Myopic+Astigmatism+Correction)
-

Source URL: <https://www.wavelight.de/produkte-infos/wavelight-diagnostic-devices/breite-palette-von-behandlungsoptionen>

Links

[1] <https://www.wavelight.de/produkte-infos/wavelight-diagnostic-devices/breite-palette-von-behandlungsoptionen>

[2] <https://www.ncbi.nlm.nih.gov/pubmed/23674759>

[3] <https://www.ncbi.nlm.nih.gov/pubmed/?term=Epi-LASIK%3A+comparative+histological+evaluation+of+mechanical+and+alcohol-assisted+epithelial+separation>

[4] <https://www.ncbi.nlm.nih.gov/pubmed/?term=3>